

OPTIMIZATION OF INTERLOCKING MAIN MOTOR VERTICAL RAW MILL ON PRODUCTION PROCESS OF PT SINAR TAMBANG ARTHALESTARI

OPTIMASI *INTERLOCKING MAIN MOTOR VERTICAL RAW MILL* TERHADAP PROSES PRODUKSI PT SINAR TAMBANG ARTHALESTARI

Abdul Rohman Rusdan Arif, Dody Wahjudi, Tri Watiningsih
Program Studi Teknik Elektro Fakultas Teknik Universitas Wijayakusuma Purwokerto
Kampus UNWIKU Jl.Beji Karangsalam PO BOX 185 Purwokerto 53152
Email : arif_paypal354@yahoo.co.id

ABSTRACT

In carrying out the production process continuously, various things will arise during the production process that can lead to downtime and result in production losses. Vertical Raw Mill is equipment for producing raw meal (the basic product for making clinkers) with a production capacity of 420 tons / hour. As for the Vertical Raw Mill, the milling process of raw material has been arranged to become a material with a size of 90μ and humidity $<1\%$. In order to achieve the production target in the Vertical Raw Mill area, an analysis of the causes of downtime was carried out during January 2018 to November 2018. Based on data from January 2018 to November 2018, the highest frequency of downtime was the presence of high vibration $\geq 15\text{mm/s}$ so that it caused Main Motor 10.5KV Vertical Raw Mill Trip due to interlocking with high vibration $\geq 15\text{mm/s}$. Based on the analysis of the high vibration interlocking process, if vibrations occur $\geq 15\text{mm/s}$, the Main Motor switchgear coil will be switched off. To reduce the risk of downtime, an interlocking vibration program is optimized. The aim is to summarize interlocking without removing equipment protection and is expected to increase equipment productivity and life time. After optimization and data collection during January 2019-June 2019, year-on-year evaluation results in a decrease in the frequency of downtime by 71.73% and reduce the loss of raw meal production by 61.15%.

Keyword : Raw Meal, Vibration, Vertical Raw Mill, Downtim

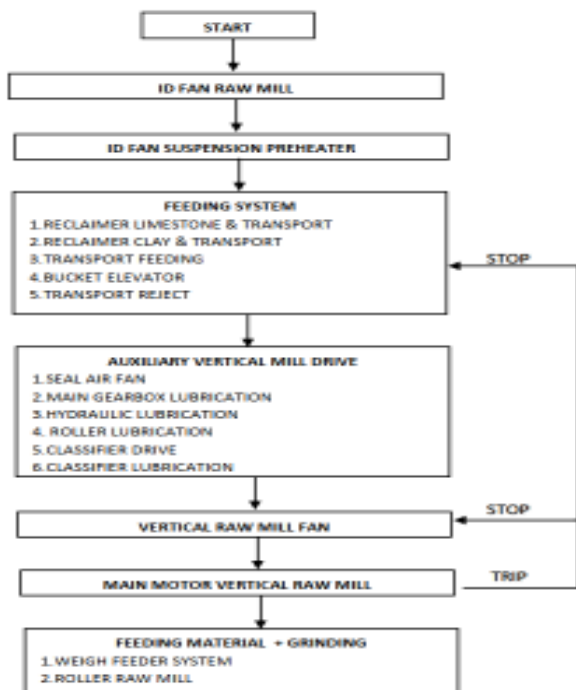
ABSTRAK

Dalam melakukan proses produksi secara berkesinambungan, maka akan timbul berbagai hal selama proses produksi berlangsung yang dapat menyebabkan *downtime* dan mengakibatkan kerugian produksi. *Vertical Raw Mill* merupakan peralatan untuk memproduksi *raw meal* (produk dasar pembuatan *clinker*) dengan kapasitas produksi 420 ton/jam. Adapun di *Vertical Raw Mill* terjadi proses penggilingan *raw material* yang sudah diatur komposisinya hingga menjadi material dengan ukuran 90μ dan kelembaban $<1\%$. Guna tercapainya target produksi di area *Vertical Raw Mill* maka dilakukan analisa penyebab *downtime* selama bulan Januari 2018 sampai November 2018. Berdasarkan data selama bulan Januari 2018 sampai November 2018, frekwensi *downtime* terbanyak yaitu adanya *high vibration* $\geq 15\text{mm/s}$ sehingga berakibat Main Motor 10,5KV Vertical Raw Mill Trip karena *interlocking* dengan *high vibration* $\geq 15\text{mm/s}$. Berdasarkan analisa proses *interlocking high vibration*, apabila terjadi vibrasi $\geq 15\text{mm/s}$ maka *coil switchgear Main Motor* akan di *switch off*. Untuk mengurangi resiko *downtime* maka dilakukan optimasi program *interlocking vibration*. Tujuannya untuk meringkas *interlocking* tanpa menghilangkan proteksi peralatan dan diharapkan meningkatkan produktifitas maupun *life time* peralatan. Setelah dilakukan optimasi dan dilakukan pengambilan data selama Januari 2019-Juni 2019, hasil evaluasi secara YoY (year-on-year) terjadi penurunan frekwensi *downtime* sebesar 71,73% dan menekan kerugian produksi *raw meal* sebesar 61,15%.

Kata Kunci : Raw Meal, Vibration, Vertical Raw Mill, Downtime

PENDAHULUAN

Dalam proses pembuatan produk semen dibutuhkan peralatan atau unit yang bertujuan menunjang keberlangsungan proses produksi secara berkelanjutan agar produksi menjadi aman serta kualitas produk terjaga. *Vertical Raw Mill* merupakan peralatan untuk memproduksi *raw meal* (produk dasar pembuatan *clinker*). Adapun di *Vertical Raw Mill* sendiri terjadi proses penggilingan *raw material* yang sudah diatur komposisinya hingga menjadi material dengan ukuran 90μ serta membuat kelembaban menjadi $<1\%$. *Vertical Raw Mill* di PT Sinar Tambang Arthalestari memiliki kapasitas produksi 420 ton per jam.



Gambar 1. 1 Flow Chart Interlocking Vertical Raw Mill terhadap Plant

Berdasarkan Gambar 1.1 *flow chart interlocking plant*, apabila terjadi *Trip Main Motor Vertical Raw Mill* maka menyebabkan *interlocking* terhadap area *feeding system* dan *vertical raw mill fan* sehingga terjadi kerugian produksi dan *downtime* yang berulang-ulang. Untuk mencapai target produksi di area *Vertical Raw Mill*, maka dilakukan analisa penyebab *breakdown* selama bulan Januari 2018 sampai November 2018. Hasil analisa selama bulan Januari 2018 sampai November 2018 dengan frekuensi terbanyak yaitu disebabkan oleh adanya *high vibration* di area *Vertical Raw Mill* sehingga solusi yang akan dilakukan yaitu merubah *interlock system protection sensor vibration* dengan *switchgear*.

Berdasarkan latar belakang masalah yang telah diuraikan sebelumnya, maka dapat ditentukan rumusan masalah yaitu :

1. Bagaimana proses menganalisa *breakdown* di *Vertical Roller Raw Mill* ?
2. Bagaimana proses-proses perubahan *interlock system protection sensor vibration* dengan *switchgear*?
3. Apakah perubahan *interlock system protection sensor vibration* dengan *switchgear* mempengaruhi proses operasi?
4. Apa dampak sebelum dan sesudah perubahan *interlock system protection sensor vibration* dengan *switchgear* ?

Diperlukan batasan masalah dalam analisa Interlock Sensor Vibrasi *Vertical Raw Mill* terhadap proses produksi PT Sinar Tambang Arthalestari. Sehingga dapat diperoleh hasil yang sesuai dengan tujuan pembuatan serta membatasi masalah yang akan dibahas. Adapun pembatasan masalah dalam penelitian ini adalah sebagai berikut :

1. *Interlock system protection sensor vibration* dengan *switchgear* merubah *hardwire control*.
2. *Interlock system protection sensor vibration* dengan *switchgear* merubah *sequence programming control DCS*.
3. *Interlock system protection sensor vibration* dengan *switchgear* setelah dilakukan perubahan tidak menyebabkan *Trip Main Motor*
4. *Interlock system protection sensor vibration* dengan *switchgear* setelah dilakukan proses simulasi dari sisi proses tidak ada perubahan metode proses produksi.

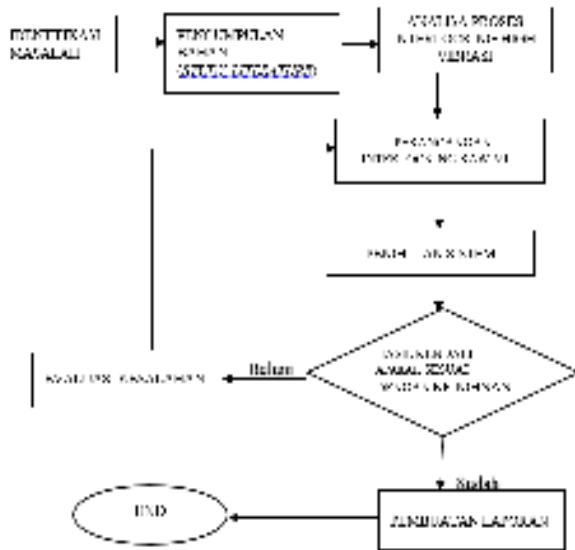
Adapun tujuan pembuatan tugas akhir ini adalah sebagai berikut :

1. Meningkatkan efektifitas proses produksi sehingga target produksi dapat tercapai.
2. Menjaga dan menambah *life time* peralatan proses produksi karena stop peralatan.
3. Memperkecil resiko kesalahan yang dapat mengakibatkan kecelakaan kerja.

METODE PENELITIAN

a. Tahap Penelitian

Setelah dilakukan identifikasi pengkajian proses sinyal vibrasi, tahapan selanjutnya melakukan penelitian untuk mengoptimasi *interlocking Main Motor Vertical Raw Mill*. Tahap penelitian dilakukan secara berurutan dan disusun secara sistematis. Berikut ini garis-garis besar diagram alur penelitian.



Gambar 1. Diagram alur penelitian

b. Identifikasi Masalah

Tingginya permintaan *Raw Meal* atau bahan baku untuk memproduksi *cement product* setengah jadi (*clinker product*) menuntut *Vertical Raw Mill* untuk memproduksi secara berkelanjutan dengan kapasitas desain 420 t/h. Namun disini lain *Vertical Raw Mill* memiliki beberapa masalah ketika proses produksi berlangsung sehingga terjadi *downtime* karena *high vibration* $\geq 15\text{mm/s}$.

Tabel 1. Spesifikasi Kapasitas Raw Mill

Production data	
Description	Value
Raw Material	Cement Raw Mix
Raw Material grain size before Toesche Mill	Max. 70mm
Material Moisture (average)	Max. 7% H ₂ O
Grinding stock quality	No metallic fillings permitted, solvent-free
Throughput	420 t/h
Product grain size	< 10% R ₉₀ 0.9 mm
Product moisture	≤ 1% H ₂ O

c. Pengumpulan Bahan (Study Literature)

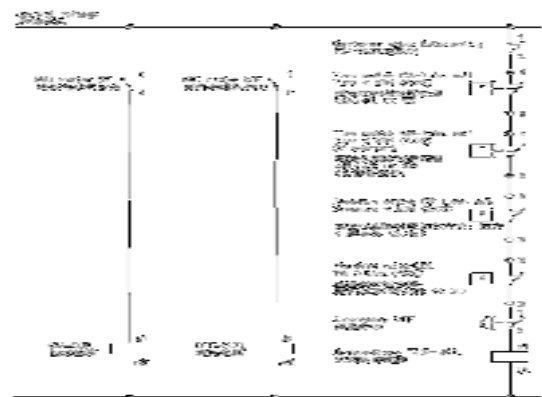
Sebagai bahan penunjang penelitian ini dibutuhkan komponen penyusun dan spesifikasi peralatan diantaranya sebagai berikut. PLC Siemens S7-300

1. PLC Siemens S7-400/PCS 7 Siemens
2. Vibrocontrol
3. Wiring diagram Switchgear

Tabel 3. 1 Spesifikasi peralatan

	Perangkat	Tipe
Komputer PC-180	Prosesor	Intel Celeron
	RAM	2 GB
	Hardisk	160 GB
	Monitor	17 inch
	Mouse	2 button
Monitor 17-180	Resolusi	1280 x 800
	Warna	16.7 juta
	Port	USB, FireWire
	Kecepatan	15000 RPM
	Daya	150 Watt
Vibrokontrol	Model	Vibrocontrol
	Spesifikasi	15000 RPM
	Warna	16.7 juta
	Port	USB, FireWire
	Kecepatan	15000 RPM
	Daya	150 Watt
	Resolusi	1280 x 800
	RAM	2 GB
	Hardisk	160 GB
	Monitor	17 inch

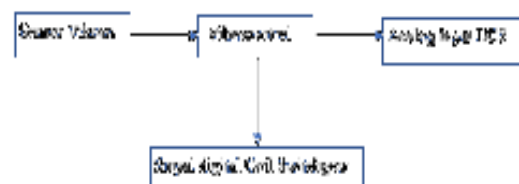
Untuk memahami proses *interlocking* sinyal digital maka diperlukan *wiring diagram* sesuai Gambar 3.2 (*wiring control switchgear*), sehingga diharapkan lebih optimal hasilnya.



Gambar 1. Wiring Switchgear

d. Analisa Proses Interlocking High Vibrasi

Untuk mengetahui lebih detail proses *interlocking high vibrasi*. Tahapan selanjutnya yaitu membuat analisa *interlocking high vibrasi* agar didapatkan hasil optimasi yang tepat. Berikut ini alur sinyal vibrasi.

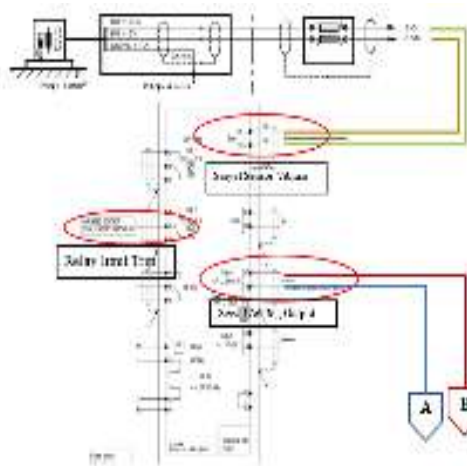


Gambar 2. Alur Sinyal Sensor Vibrasi

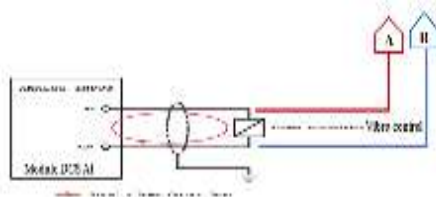
Berdasarkan Gambar 3.3 (alur sinyal sensor vibrasi), *vibrocontrol* membagi dua sinyal yaitu Analog output dan Digital Output. Jadi terdapat dua jenis *interlocking*:

1. *Interlocking hardware*
2. *Interlocking program*

Interlocking hardware merupakan jenis *interlocking* yang hanya memakai wiring/pengkawatan untuk proses sinyalnya sehingga hanya sinyal digital yang dapat diaplikasikan dengan model ini. *Interlocking program* merupakan jenis kontrol yang dibuat dengan mengolah sinyal analog 4mA-20mA memakai *software* kemudian di *scaling* dan diolah menjadi berbagai jenis *sequence control* melalui fitur *software* yang tersedia sehingga hasil yang diperoleh lebih fleksibel.



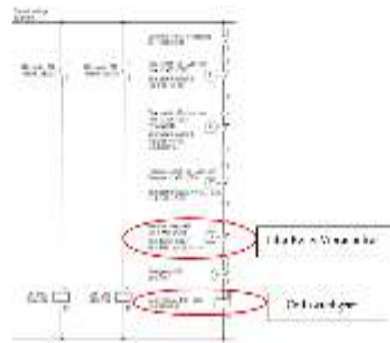
Gambar 4. Proses sinyal sensor Vibrasi



Gambar 3. Modul analog input DCS

Terlihat bahwa Gambar 3.4 (proses sinyal sensor vibrasi) dan Gambar 3.5 (modul analog input DCS) terjadi proses perubahan sinyal analog dari sensor vibrasi ke *vibrocontrol*. Tujuannya untuk mengkonversi agar sinyal mV sensor vibrasi dapat di baca oleh PLC maupun DCS. *Vibro control* memiliki sinyal *analog output* berupa nilai 4mA-20mA dan *digital output* berupa nilai 1= 24VDC, 0= 24VDC. Sinyal *analog output* dikirim dari *vibro control* ke *remote I/O analog input* DCS (*Distribution Control System*) kemudian sinyal tersebut dirubah dan di *scaling* oleh *library*

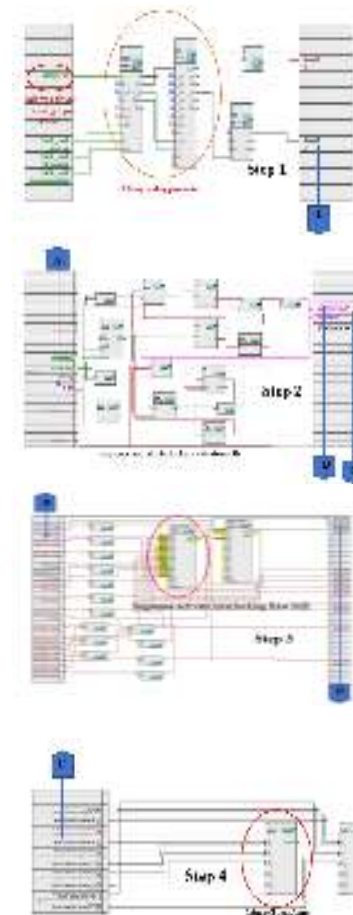
menjadiprogram yang dapat mengaktifkan *interlocking main motor raw mill*

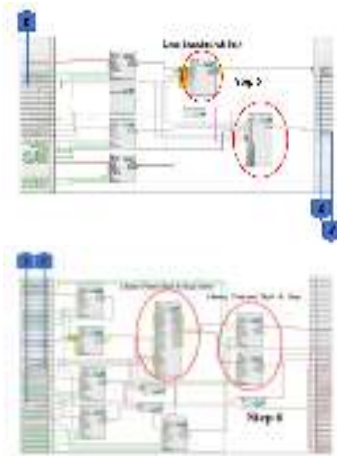


Gambar 4. Hardware switchgear

Gambar 6 (*hardware switchgear*) merupakan *wiring diagram switchgear* dan salah satu control relay NC (*Normally Close*) berasal dari *vibrocontrol*. Jadi saat sensor vibrasi mencapai $\geq 15\text{mm/s}$ maka *digital output* aktif dan relay berubah menjadi NO (*Normally Open*) sehingga mengaktifkan *coil switchgear* untuk *off*.

1. Program Logic CFC DCS Sebelum Perubahan





Gambar 7. Logic CFC interlocking

2. Perancangan Interlocking Raw Mill



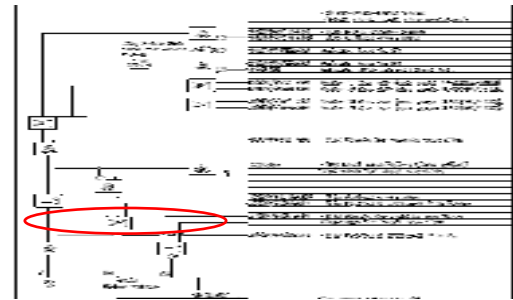
Gambar 8. Rencana optimasi

Berdasarkan Gambar 3.8 (rencana optimasi sebelum dan sesudah perubahan) perbedaannya terletak di jalur sinyal digital output dari vibrocontrol menuju ke switchgear. Sebelum perubahan dilakukan apabila terjadi vibrasi $\geq 15\text{mm/s}$ maka coil switchgear akan di switch off. Setelah dilakukan perubahan, jalur digital output dari vibrocontrol ke switchgear di nonaktifkan. Tujuan dinonaktifkan hardware switchgear untuk meringkas interlocking karena sinyal digital membuat switchgear langsung off dan dampak yang ditimbulkan menyebabkan berkurangnya produktifitas maupun life time peralatan. Jadi saat sensor vibrasi mencapai limit 2 ($30\%=15\text{mm/s}$) maka relay 2 tidak akan aktif. cking Program Logic.

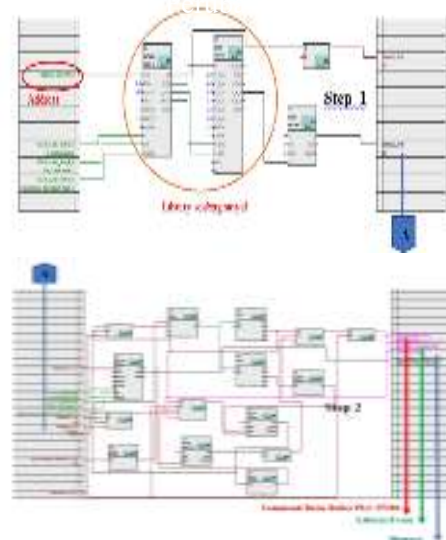
Tahap selanjutnya yaitu *sequence logic interlocking mill vibration* $< \text{max}2$ (Gambar 3.9) dipindahkan ke *interlocking sequence program logic raise roller* (Gambar 3.10). Jadi saat *high vibrasi* $\geq 15\text{mm/s}$ maka sinyal *command* vibrasi tidak membuat *switchgear off* tetapi mengaktifkan *program logic raise roller*, sehingga membuat *roller HSLM 1 & HSLM 2* naik dan diharapkan mengurangi vibrasi secara signifikan tanpa menyebabkan *switchgear off*.



Gambar 9. Sequence logic interlocking mill



Gambar 5. Sequence logic raise rollers



Gambar 11. Logic CFC setelah perubahan

Pada Gambar 11 Step 1 dan 2 (logic CFC setelah perubahan). Jika terjadi sebuah *disturbance* atau gangguan *high* vibrasi $\geq 15\text{mm/s}$ maka *program logic* akan membaca dua kemungkinan. Vibrasi statis yang berlangsung *continuous* selama 2 detik dan vibrasi dinamis yang terjadi berulang-ulang sebanyak 4 kali dalam rentang waktu 60 detik. Apabila salah satu sinyal tersebut aktif (vibrasi statis dan vibrasi dinamis) maka sinyal *disturbance* dikirim ke *address profibus* yang merupakan sinyal *command* ke PLC untuk mengaktifkan 4 roller naik secara bersamaan sehingga target yang diharapkan menurunkan vibrasi.

LANDASAN TEORI

1. Proses Kontrol

Dalam mempelajari proses kontrol perlu dipahami cara kerja peralatan sehingga dapat menjelaskan cara mengolah dan memproses sinyal yang terjadi. Proses yang terjadi berasal dari pengolahan sinyal besaran fisis ke besaran elektrik yang sudah di standarisasi oleh peraturan internasional sehingga *controller* dapat membaca dan mengolah sinyal-sinyal tersebut sesuai peralatan yang dipakai untuk melakukan proses sinyal *interlocking*. Adapun peralatan kontrol yang di gunakan antara lain :

1. Sensor Vibrasi
2. Vibro Controller
3. PLC (Programmable Logic Controller)
4. DCS (Distribution Control System)
5. *Switchgear*

2. Sensor Vibrasi

Sensor vibrasi yaitu suatu alat yang berfungsi untuk mendeteksi adanya getaran yang diubah ke dalam sinyal listrik. Dan yang terinstal di Vertical Raw Mill jenis sensor vibrasi *velocity*. *Sensor vibrasi velocity* dipasang bersentuhan langsung dengan benda yang akan diukur *vibrasi* nya, sensor ini berfungsi untuk mengukur getaran dari suatu alat atau mesin yang menggunakan kecepatan sebagai parameternya. Prinsip kerja *velocity* sesuai dengan hukum fisika yaitu apabila suatu konduktor atau kumparan yang dikelilingi oleh medan magnet kemudian bergerak terhadap medan magnet atau sebaliknya akan menimbulkan suatu tegangan induksi pada konduktor. Kumparan yang ada didalamnya bergerak relatif terhadap medan magnet sehingga akan menghasilkan tegangan listrik pada ujung kawat kumparan. Dengan mengolah sinyal listrik, maka getaran dapat diukur.



Gambar 12. Sensor vibrasi velocity

3. Vibro Controller

Vibro Controller merupakan alat yang berfungsi membaca dan mengkonversi nilai atau sinyal *output sensor vibrasi* ke nilai sinyal standar 4mA-20mA, sesuai standar internasional. *Vibro control* memiliki pengaturan nilai peringatan/*warning*, nilai *alarm trip* dan *relay switch* yang aktif bila nilai melebihi batas maksimal yang di ijinakan. Selanjutnya sinyal tersebut akan menonaktifkan *switchgear*.



Gambar 13. Vibro Controller

4. PLC (*Programmable Logic Controller*)

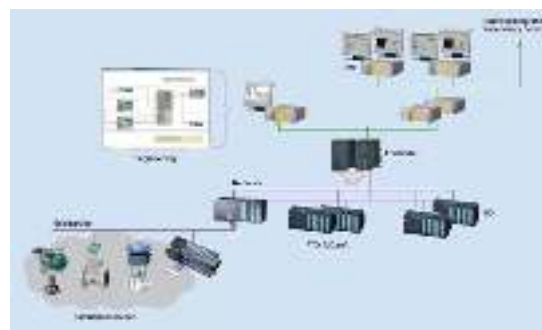
Pada tahun 1978, *National Electrical Manufactures Association* (NEMA) menetapkan *standard programmable control* (NEMA standard ICS3-1978 part ICS3-304) yang mendefinisikan PLC sebagai peralatan elektronik yang beroperasi secara *digital* dengan menggunakan memori yang dapat di program pada tempat penyimpanan internal serta instruksi yang mengimplementasikan fungsi-fungsi spesifik seperti logika, sekuensial, pewaktuan, dan aritmatik. Tujuannya untuk mengontrol mesin dari berbagai tipe atau suatu proses control yang meliputi modul masukan atau keluaran baik *analog* maupun *digital*.



Gambar 14. PLC Siemens S7300

5. Pengertian DCS

DCS adalah suatu kumpulan dari beberapa bagian atau komponen yang saling berinteraksi satu sama lain untuk mencapai tujuan yang sama dan merupakan suatu sistem kontrol yang berfungsi untuk mengontrol atau mengatur jalannya proses pada suatu sistem/plan dengan mendistribusikan kontrolnya. Ada juga yang mengatakan DCS adalah suatu sistem kontrol yang terdistribusi dimana komponen atau bagian-bagian dari DCS yang terdistribusi ke berbagai tempat.



Gambar 15. Arsitektur DCS Siemens

6. Switchgear

Switchgear merupakan jenis komponen hubung/pemutus yang ada dalam satu kesatuan (unit) terintegrasi sehingga dapat difungsikan sebagai penghubung, pemutus dan pelindung terhadap dua sisi rangkaian tersebut.

Berikut ini Fungsi *Switchgear* :

- Fungsi *Switching* (melalui *Circuit Breaker* atau *Load Break Switch*)
- Fungsi proteksi (*switchgear* dilengkapi dengan fuse atau relay untuk proteksi beban seperti *overcurrent*, *overload*, *reverse power*, *under/over voltage*)
- Fungsi pengukuran (*switchgear* dilengkapi dengan *power meter* untuk pengukuran besaran listrik seperti arus, tegangan, KWH, Frekwensi, *Power Factor*)
- Fungsi monitoring (*switchgear* dilengkapi dengan pilot *indicator*/fasilitas *monitoring* untuk status on atau off maupun abnormal atau *trip* melalui *remote monitoring* PLC atau DCS atau SCADA



Gambar 16. Switchgear

7. Motor Induksi

Disebut motor induksi, karena motor ini bekerja dengan adanya arus yang terinduksi sebagai akibat dari adanya perbedaan relative antara putaran rotor dengan medan magnet berputar yang dihasilkan oleh arus stator. Motor induksi ini terdiri dari dua jenis, yaitu motor induksi dengan rotor belitan dan motor induksi rotor sangkar.

8. Motor cincin seret (*slipping induction motor*)

Ciri khas motor *slipping* atau yang sering disebut motor rotor lilit adalah adanya lilitan pada rotornya yang dilengkapi dengan cincin geser (*slipping*) dan dihubungkan dengan *coal brush* ke terminal. Hal lain yang menjadi ciri pada motor ini adalah pada terminal box yang memiliki sembilan terminal. Enam terminal terhubung dengan ujung-ujung lilitan pada statornya (U1-U2, V1-V2 dan W1-W2), sedangkan tiga terminal lainnya (K-L-M) terhubung dengan lilitan pada rotornya melalui *slipping*. Ada 3 buah cincin (*slipping*) yang terhubung dengan *coal brush*.



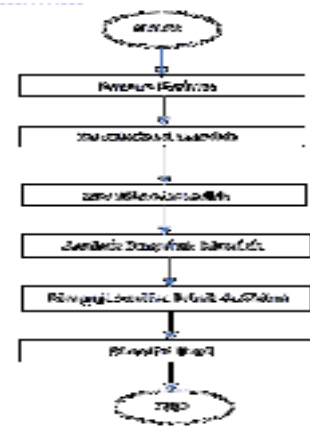
Gambar 17. Slipping pada motor induksi

Lilitan rotor yang ujungnya terminal K-L-M dihubungkan dengan resistor luar yang besarnya bisa diatur. Dengan mengatur resistor luar berarti mengatur besarnya resistor total yang merupakan jumlah resistansi rotor dan resistansi luar ($R_{rotor} + R_{luar}$), sehingga pada arus rotor dapat diatur. Ketika resistor berharga maksimum, arus rotor yang mengalir minimum, sekaligus memperbaiki faktor kerja motor. Kelebihan rotor lilit yaitu diperoleh torsi starting yang tinggi, dengan arus starting yang tetap terkendali. Umumnya motor jenis ini dirancang untuk motor-motor dengan konsumsi daya yang besar.

HASIL DAN PEMBAHASAN

1. Rencana Kegiatan

Untuk memudahkan langkah-langkah membuat sebuah rencana kegiatan. Berikut ini Diagram alir analisis dan hasil sesuai Gambar 18.



Gambar 18. Diagram Alir Analisis Dan Hasil

2. Inventarisasi Masalah

Untuk mengetahui frekwensi permasalahan yang terjadi dilakukan inventarisasi masalah mengenai terhambatnya proses produksi *Raw Meal* pada bulan Januari 2018 s/d November 2018.

Tabel 2. Inventarisasi masalah

No	Detail Masalah	Frekwensi (x)	Perbaikan (y)	Hasil (z)
1	Saluran Pengaliran	10	2,00%	20000
2	Saluran Pengaliran	0	0,00%	00000
3	Saluran Pengaliran	4	0,80%	80000
4	Saluran Pengaliran	1	0,20%	20000
5	Saluran Pengaliran	5	1,00%	100000
6	Saluran Pengaliran	1	0,20%	20000
7	Saluran Pengaliran	4	0,80%	80000
8	Saluran Pengaliran	5	1,00%	100000
9	Saluran Pengaliran	5	1,00%	100000
10	Saluran Pengaliran	1	0,20%	20000
11	Saluran Pengaliran	1	0,20%	20000
12	Saluran Pengaliran	1	0,20%	20000
13	Saluran Pengaliran	1	0,20%	20000
14	Saluran Pengaliran	1	0,20%	20000
15	Saluran Pengaliran	1	0,20%	20000
16	Saluran Pengaliran	1	0,20%	20000
17	Saluran Pengaliran	1	0,20%	20000
18	Saluran Pengaliran	1	0,20%	20000
19	Saluran Pengaliran	1	0,20%	20000
20	Saluran Pengaliran	1	0,20%	20000
Jumlah		50	10,00%	500000

a. Stratifikasi Masalah

Setelah di dapatkan hasil inventarisasi masalah, langkah selanjutnya yaitu melakukan stratifikasi masalah. Tujuan stratifikasi masalah untuk mengelompokan masalah yang muncul sehingga dapat menentukan prioritas masalah yang akan diselesaikan dan diharapkan mampu meningkatkan produksi *raw meal*.

Setelah di dapatkan hasil inventarisasi masalah, langkah selanjutnya yaitu melakukan stratifikasi masalah. Tujuan stratifikasi masalah untuk mengelompokan masalah yang muncul sehingga dapat menentukan prioritas masalah yang akan diselesaikan dan diharapkan mampu meningkatkan produksi *raw meal*.

Tabel 3. Stratifikasi masalah

No	Kategori Masalah	Jumlah		Persentase (%)
		Jumlah	Rank	
1	Raw Mill High Vibration	16785	1	29,67
2	Alarm Raw Mill	6244	2	10,96
3	Alarm Raw Mill 2	1421	3	2,50
4	Alarm Raw Mill 3	2077	4	3,64
5	Alarm Raw Mill 4	215	5	0,38
6	Alarm Raw Mill 5	1763	6	3,09
7	Alarm Raw Mill 6	1413	7	2,48
8	Alarm Raw Mill 7	967	8	1,69
9	Alarm Raw Mill 8	1106	9	1,93
10	Alarm Raw Mill 9	1113	10	1,94
11	Alarm Raw Mill 10	967	11	1,69
12	Alarm Raw Mill 11	1006	12	1,76
13	Alarm Raw Mill 12	936	13	1,64
14	Alarm Raw Mill 13	441	14	0,77
15	Alarm Raw Mill 14	1126	15	1,96
16	Alarm Raw Mill 15	1116	16	1,94
17	Alarm Raw Mill 16	1116	17	1,94
18	Alarm Raw Mill 17	1116	18	1,94
19	Alarm Raw Mill 18	1116	19	1,94
20	Alarm Raw Mill 19	1116	20	1,94
21	Alarm Raw Mill 20	1116	21	1,94
22	Alarm Raw Mill 21	1116	22	1,94
23	Alarm Raw Mill 22	1116	23	1,94
24	Alarm Raw Mill 23	1116	24	1,94
25	Alarm Raw Mill 24	1116	25	1,94
26	Alarm Raw Mill 25	1116	26	1,94
27	Alarm Raw Mill 26	1116	27	1,94
28	Alarm Raw Mill 27	1116	28	1,94
29	Alarm Raw Mill 28	1116	29	1,94
30	Alarm Raw Mill 29	1116	30	1,94
31	Alarm Raw Mill 30	1116	31	1,94
32	Alarm Raw Mill 31	1116	32	1,94
33	Alarm Raw Mill 32	1116	33	1,94
34	Alarm Raw Mill 33	1116	34	1,94
35	Alarm Raw Mill 34	1116	35	1,94
36	Alarm Raw Mill 35	1116	36	1,94
37	Alarm Raw Mill 36	1116	37	1,94
38	Alarm Raw Mill 37	1116	38	1,94
39	Alarm Raw Mill 38	1116	39	1,94
40	Alarm Raw Mill 39	1116	40	1,94
41	Alarm Raw Mill 40	1116	41	1,94
42	Alarm Raw Mill 41	1116	42	1,94
43	Alarm Raw Mill 42	1116	43	1,94
44	Alarm Raw Mill 43	1116	44	1,94
45	Alarm Raw Mill 44	1116	45	1,94
46	Alarm Raw Mill 45	1116	46	1,94
47	Alarm Raw Mill 46	1116	47	1,94
48	Alarm Raw Mill 47	1116	48	1,94
49	Alarm Raw Mill 48	1116	49	1,94
50	Alarm Raw Mill 49	1116	50	1,94
51	Alarm Raw Mill 50	1116	51	1,94
52	Alarm Raw Mill 51	1116	52	1,94
53	Alarm Raw Mill 52	1116	53	1,94
54	Alarm Raw Mill 53	1116	54	1,94
55	Alarm Raw Mill 54	1116	55	1,94
56	Alarm Raw Mill 55	1116	56	1,94
57	Alarm Raw Mill 56	1116	57	1,94
58	Alarm Raw Mill 57	1116	58	1,94
59	Alarm Raw Mill 58	1116	59	1,94
60	Alarm Raw Mill 59	1116	60	1,94
61	Alarm Raw Mill 60	1116	61	1,94
62	Alarm Raw Mill 61	1116	62	1,94
63	Alarm Raw Mill 62	1116	63	1,94
64	Alarm Raw Mill 63	1116	64	1,94
65	Alarm Raw Mill 64	1116	65	1,94
66	Alarm Raw Mill 65	1116	66	1,94
67	Alarm Raw Mill 66	1116	67	1,94
68	Alarm Raw Mill 67	1116	68	1,94
69	Alarm Raw Mill 68	1116	69	1,94
70	Alarm Raw Mill 69	1116	70	1,94
71	Alarm Raw Mill 70	1116	71	1,94
72	Alarm Raw Mill 71	1116	72	1,94
73	Alarm Raw Mill 72	1116	73	1,94
74	Alarm Raw Mill 73	1116	74	1,94
75	Alarm Raw Mill 74	1116	75	1,94
76	Alarm Raw Mill 75	1116	76	1,94
77	Alarm Raw Mill 76	1116	77	1,94
78	Alarm Raw Mill 77	1116	78	1,94
79	Alarm Raw Mill 78	1116	79	1,94
80	Alarm Raw Mill 79	1116	80	1,94
81	Alarm Raw Mill 80	1116	81	1,94
82	Alarm Raw Mill 81	1116	82	1,94
83	Alarm Raw Mill 82	1116	83	1,94
84	Alarm Raw Mill 83	1116	84	1,94
85	Alarm Raw Mill 84	1116	85	1,94
86	Alarm Raw Mill 85	1116	86	1,94
87	Alarm Raw Mill 86	1116	87	1,94
88	Alarm Raw Mill 87	1116	88	1,94
89	Alarm Raw Mill 88	1116	89	1,94
90	Alarm Raw Mill 89	1116	90	1,94
91	Alarm Raw Mill 90	1116	91	1,94
92	Alarm Raw Mill 91	1116	92	1,94
93	Alarm Raw Mill 92	1116	93	1,94
94	Alarm Raw Mill 93	1116	94	1,94
95	Alarm Raw Mill 94	1116	95	1,94
96	Alarm Raw Mill 95	1116	96	1,94
97	Alarm Raw Mill 96	1116	97	1,94
98	Alarm Raw Mill 97	1116	98	1,94
99	Alarm Raw Mill 98	1116	99	1,94
100	Alarm Raw Mill 99	1116	100	1,94
101	Alarm Raw Mill 100	1116	101	1,94
102	Alarm Raw Mill 101	1116	102	1,94
103	Alarm Raw Mill 102	1116	103	1,94
104	Alarm Raw Mill 103	1116	104	1,94
105	Alarm Raw Mill 104	1116	105	1,94
106	Alarm Raw Mill 105	1116	106	1,94
107	Alarm Raw Mill 106	1116	107	1,94
108	Alarm Raw Mill 107	1116	108	1,94
109	Alarm Raw Mill 108	1116	109	1,94
110	Alarm Raw Mill 109	1116	110	1,94
111	Alarm Raw Mill 110	1116	111	1,94
112	Alarm Raw Mill 111	1116	112	1,94
113	Alarm Raw Mill 112	1116	113	1,94
114	Alarm Raw Mill 113	1116	114	1,94
115	Alarm Raw Mill 114	1116	115	1,94
116	Alarm Raw Mill 115	1116	116	1,94
117	Alarm Raw Mill 116	1116	117	1,94
118	Alarm Raw Mill 117	1116	118	1,94
119	Alarm Raw Mill 118	1116	119	1,94
120	Alarm Raw Mill 119	1116	120	1,94
121	Alarm Raw Mill 120	1116	121	1,94
122	Alarm Raw Mill 121	1116	122	1,94
123	Alarm Raw Mill 122	1116	123	1,94
124	Alarm Raw Mill 123	1116	124	1,94
125	Alarm Raw Mill 124	1116	125	1,94
126	Alarm Raw Mill 125	1116	126	1,94
127	Alarm Raw Mill 126	1116	127	1,94
128	Alarm Raw Mill 127	1116	128	1,94
129	Alarm Raw Mill 128	1116	129	1,94
130	Alarm Raw Mill 129	1116	130	1,94
131	Alarm Raw Mill 130	1116	131	1,94
132	Alarm Raw Mill 131	1116	132	1,94
133	Alarm Raw Mill 132	1116	133	1,94
134	Alarm Raw Mill 133	1116	134	1,94
135	Alarm Raw Mill 134	1116	135	1,94
136	Alarm Raw Mill 135	1116	136	1,94
137	Alarm Raw Mill 136	1116	137	1,94
138	Alarm Raw Mill 137	1116	138	1,94
139	Alarm Raw Mill 138	1116	139	1,94
140	Alarm Raw Mill 139	1116	140	1,94
141	Alarm Raw Mill 140	1116	141	1,94
142	Alarm Raw Mill 141	1116	142	1,94
143	Alarm Raw Mill 142	1116	143	1,94
144	Alarm Raw Mill 143	1116	144	1,94
145	Alarm Raw Mill 144	1116	145	1,94
146	Alarm Raw Mill 145	1116	146	1,94
147	Alarm Raw Mill 146	1116	147	1,94
148	Alarm Raw Mill 147	1116	148	1,94
149	Alarm Raw Mill 148	1116	149	1,94
150	Alarm Raw Mill 149	1116	150	1,94
151	Alarm Raw Mill 150	1116	151	1,94
152	Alarm Raw Mill 151	1116	152	1,94
153	Alarm Raw Mill 152	1116	153	1,94
154	Alarm Raw Mill 153	1116	154	1,94
155	Alarm Raw Mill 154	1116	155	1,94
156	Alarm Raw Mill 155	1116	156	1,94
157	Alarm Raw Mill 156	1116	157	1,94
158	Alarm Raw Mill 157	1116	158	1,94
159	Alarm Raw Mill 158	1116	159	1,94
160	Alarm Raw Mill 159	1116	160	1,94
161	Alarm Raw Mill 160	1116	161	1,94
162	Alarm Raw Mill 161	1116	162	1,94
163	Alarm Raw Mill 162	1116	163	1,94
164	Alarm Raw Mill 163	1116	164	1,94
165	Alarm Raw Mill 164	1116	165	1,94
166	Alarm Raw Mill 165	1116	166	1,94
167	Alarm Raw Mill 166	1116	167	1,94
168	Alarm Raw Mill 167	1116	168	1,94
169	Alarm Raw Mill 168	1116	169	1,94
170	Alarm Raw Mill 169	1116	170	1,94
171	Alarm Raw Mill 170	1116	171	1,94
172	Alarm Raw Mill 171	1116	172	1,94
173	Alarm Raw Mill 172	1116	173	1,94
174	Alarm Raw Mill 173	1116	174	1,94
175	Alarm Raw Mill 174	1116	175	1,94
176	Alarm Raw Mill 175	1116	176	1,94
177	Alarm Raw Mill 176	1116	177	1,94
178	Alarm Raw Mill 177	1116	178	1,94
179	Alarm Raw Mill 178	1116	179	1,94
180	Alarm Raw Mill 179	1116	180	1,94
181	Alarm Raw Mill 180	1116	181	1,94
182	Alarm Raw Mill 181	1116	182	1,94
183	Alarm Raw Mill 182	1116	183	1,94
184	Alarm Raw Mill 183	1116	184	1,94
185	Alarm Raw Mill 184	1116	185	1,94
186	Alarm Raw Mill 185	1116	186	1,94
187	Alarm Raw Mill 186	1116	187	1,94
188	Alarm Raw Mill 187	1116	188	1,94
189	Alarm Raw Mill 188	1116	189	1,94
190	Alarm Raw Mill 189	1116	190	1,94
191	Alarm Raw Mill 190	1116	191	1,94
192	Alarm Raw Mill 191	1116	192	1,94
193	Alarm Raw Mill 192	1116	193	1,94
194	Alarm Raw Mill 193	1116	194	1,94
195	Alarm Raw Mill 194	1116	195	1,94
196	Alarm Raw Mill 195	1116	196	1,94
197	Alarm Raw Mill 196	1116	197	1,94
198	Alarm Raw Mill 197	1116	198	1,94
199	Alarm Raw Mill 198	1116	199	1,94
200	Alarm Raw Mill 199	1116	200	1,94
201	Alarm Raw Mill 200	1116	201	1,94
202	Alarm Raw Mill 201	1116	202	1,94
203	Alarm Raw Mill 202	1116	203	1,94
204	Alarm Raw Mill 203	1116	204	1,94
205	Alarm Raw Mill 204	1116	205	1,94
206	Alarm Raw Mill 205	1116	206	1,94
207	Alarm Raw Mill 206	1116	207	1,94
208	Alarm Raw Mill 207	1116	208	1,94
209	Alarm Raw Mill 208	1116	209	1,94
210	Alarm Raw Mill 209	1116	210	1,94
211	Alarm Raw Mill 210	1116	211	1,94
212	Alarm Raw Mill 211	1116	212	1,94
213	Alarm Raw Mill 212	1116		

#	Tingkat keparahan > 0-100%	1	1	1	1	1	1	1	1	1,0	1,0	L
10	Temperatur ruangan yang tidak sesuai	2	1	2	2	1	2	2	2	2,0	2,0	L
11	Material kasar	3	3	3	1	1	1	8	2	1,7	1,7	L
12	Size material tidak sesuai	2	3	2	2	2	2	7	9	2,3	2,3	M
13	Jumlah material yang tidak sesuai dalam Vertical Mill	3	3	3	4	3	4	12	13	4,0	4,3	E
14	Metode kalibrasi gap roller yang tidak sesuai	3	4	3	4	4	4	10	12	3,5	4,0	E

$$\Sigma x = L_1 + L_2 + L_3$$

$$\Sigma y = S_1 + S_2 + S_3$$

$$\bar{X}_a = \frac{\Sigma x}{n}$$

$$\bar{X}_b = \frac{\Sigma y}{n}$$

E1: Likelihood Nilai peluang berdasarkan penilaian karyawan 1
 E2: Likelihood Nilai peluang berdasarkan penilaian karyawan 2
 E3: Likelihood Nilai peluang berdasarkan penilaian karyawan 3
 S1: Severity Nilai keparahan berdasarkan penilaian karyawan 1
 S2: Severity Nilai keparahan berdasarkan penilaian karyawan 2
 S3: Severity Nilai keparahan berdasarkan penilaian karyawan 3
 Σ: Total nilai Likelihood Nilai peluang
 Σ: Total nilai severity Nilai keparahan
 \bar{X}_a : Rata-rata nilai Likelihood Nilai peluang
 \bar{X}_b : Rata-rata nilai Likelihood Nilai keparahan

✓ Evaluasi	Mengatur jumlah <i>feeding material</i> dan menjaga parameter roses, Review ulang <i>interlock sensor vibrasi Vertical Raw Mill</i>
✓ Analisa	Relevan

Tabel 10. Feeding Material dengan Δp saat Grinding

No	Feeding (kg)	Δp (bar)	Δp	V ²	Σ V ²
1	20,0	90,0	20000,0	8100,0	28100,0
2	30,0	70,0	36000,0	4900,0	40900,0
3	20,0	90,0	20000,0	8100,0	28100,0
4	30,0	70,0	36000,0	4900,0	40900,0
5	20,0	90,0	20000,0	8100,0	28100,0
6	30,0	70,0	36000,0	4900,0	40900,0
7	20,0	90,0	20000,0	8100,0	28100,0
8	30,0	70,0	36000,0	4900,0	40900,0
9	20,0	90,0	20000,0	8100,0	28100,0
10	30,0	70,0	36000,0	4900,0	40900,0
11	20,0	90,0	20000,0	8100,0	28100,0
12	30,0	70,0	36000,0	4900,0	40900,0
13	20,0	90,0	20000,0	8100,0	28100,0
14	30,0	70,0	36000,0	4900,0	40900,0
15	20,0	90,0	20000,0	8100,0	28100,0
16	30,0	70,0	36000,0	4900,0	40900,0
17	20,0	90,0	20000,0	8100,0	28100,0
18	30,0	70,0	36000,0	4900,0	40900,0
19	20,0	90,0	20000,0	8100,0	28100,0
20	30,0	70,0	36000,0	4900,0	40900,0
21	20,0	90,0	20000,0	8100,0	28100,0
22	30,0	70,0	36000,0	4900,0	40900,0
23	20,0	90,0	20000,0	8100,0	28100,0
24	30,0	70,0	36000,0	4900,0	40900,0
25	20,0	90,0	20000,0	8100,0	28100,0
26	30,0	70,0	36000,0	4900,0	40900,0
27	20,0	90,0	20000,0	8100,0	28100,0
28	30,0	70,0	36000,0	4900,0	40900,0
29	20,0	90,0	20000,0	8100,0	28100,0
30	30,0	70,0	36000,0	4900,0	40900,0
31	20,0	90,0	20000,0	8100,0	28100,0
32	30,0	70,0	36000,0	4900,0	40900,0
33	20,0	90,0	20000,0	8100,0	28100,0
34	30,0	70,0	36000,0	4900,0	40900,0
35	20,0	90,0	20000,0	8100,0	28100,0
36	30,0	70,0	36000,0	4900,0	40900,0
37	20,0	90,0	20000,0	8100,0	28100,0
38	30,0	70,0	36000,0	4900,0	40900,0
39	20,0	90,0	20000,0	8100,0	28100,0
40	30,0	70,0	36000,0	4900,0	40900,0
41	20,0	90,0	20000,0	8100,0	28100,0
42	30,0	70,0	36000,0	4900,0	40900,0
43	20,0	90,0	20000,0	8100,0	28100,0
44	30,0	70,0	36000,0	4900,0	40900,0
45	20,0	90,0	20000,0	8100,0	28100,0
46	30,0	70,0	36000,0	4900,0	40900,0
47	20,0	90,0	20000,0	8100,0	28100,0
48	30,0	70,0	36000,0	4900,0	40900,0
49	20,0	90,0	20000,0	8100,0	28100,0
50	30,0	70,0	36000,0	4900,0	40900,0

Berdasarkan penilaian risk assessment matrix terhadap 14 penyebab masalah diperoleh tiga penyebab yang masuk kategori Extreme.

1. Jumlah material yang tidak sesuai
2. Jarak Roller dengan Table <15mm saat Grinding
3. Metode kalibrasi gap roller yang tidak sesuai

Setelah diketahui penyebab yang termasuk kategori extreme maka langkah selanjutnya adalah menguji penyebab utama tersebut apakah relevan atau tidak relevan.

4. Menguji Analisa Sebab Dan Akibat Analisa Sebab Dan Akibat Jumlah Material Yang Tidak Sesuai

Berikut hasil uji sebab dan akibat jumlah Material yang tidak sesuai :

1. Untuk melengkapi hasil uji sebab dan akibat, berikut ini merupakan data pengambilan sampling sebagai bahan pendukung.
2. Menguji hubungan feeding material dengan Δp (Perbedaan Pressure Inlet dan Outle saat Grinding Mode.
3. Menguji hubungan Δp dengan vibrasi saat Grinding Mode.

Tabel 9. Kesimpulan Analisa Sebab Dan Akibat I

✓ Faktor	Material
✓ Sebab	Jumlah raw material tidak sesuai di dalam Vertical Mill
✓ Akibat	High Vibration >15mm/s sehingga Main Motor Vertical Raw Mill Trip
✓ Fakta Pendukung	Saat terlalu banyak material, Roller tidak bisa menghaluskan dan beban table berat berakibat <i>high vibrasi</i> sebaliknya ketika jumlah material sedikit dengan ketinggian material >15mm, maka <i>roller</i> akan menekan table sehingga dapat terjadi <i>high Vibrasi</i>

Uji Koefisien Korelasi

Uji koefisien korelasi atau r ialah pengukuran statistik antara dua variabel. Besarnya koefisien korelasi berkisar antara +1 s/d -1. Koefisien korelasi menunjukkan kekuatan (*strength*) hubungan linear dan arah hubungan dua variabel acak.

Untuk memudahkan melakukan interpretasi mengenai kekuatan hubungan antara dua variabel, menurut Sarwono (2006):

- 0 : Tidak ada korelasi antara dua variabel
- >0,0,25 : Korelasi sangat lemah
- >0,25-0,5 : Korelasi cukup
- >0,5-0,75 : Korelasi kuat
- >0,75-0,99 : Korelasi sangat kuat
- 1 : Korelasi sempurna

$$r = \frac{n \Sigma XY - (\Sigma X)(\Sigma Y)}{\sqrt{(n \Sigma X^2 - (\Sigma X)^2)(n \Sigma Y^2 - (\Sigma Y)^2)}}$$

$$r = \frac{(19 \times 588.812,05) - (7417,7 \times 1508,2)}{\sqrt{(19 \times 2.896.230,01) - 55.022.273,29} \times \sqrt{(19 \times 119.719,48) - 2.274.667,24}}$$

$$r = \frac{694}{\sqrt{59,64}}$$

$$r = \frac{59,81}{132,510}$$

$$r = 0,4060$$

Berdasarkan hasil perhitungan nilai $r = 0,406$ artinya variabel X dan variabel Y mempunyai hubungan korelasi positif atau searah, dimana kenaikan nilai variabel X juga akan diikuti oleh kenaikan variabel Y. Disimpulkan bahwa nilai 0,406 menunjukkan bahwa korelasi antara feeding material dengan Δp kategori cukup.

Uji Koefisien Determinasi

Koefisien determinasi atau r^2 adalah salah satu bagian dari analisis regresi linear berganda ataupun regresi sederhana yang digunakan untuk mengukur kemampuan variabel independen dalam menjelaskan variabel dependen. Nilai koefisien determinasi berkisar antara 0 sampai 1. Apabila nilai koefisien determinasi mendekati 1 artinya pengaruh variabel independen terhadap variabel dependen semakin kuat dan sebaliknya apabila nilai koefisien determinasi mendekati 0 maka pengaruh variabel independen terhadap variabel dependen semakin lemah (Nawari,2010).

$$r^2 = \frac{((n)(\sum XY) - (\sum X)(\sum Y))^2}{(n(\sum X^2) - (\sum X)^2)(n(\sum Y^2) - (\sum Y)^2)}$$

$$r^2 = \frac{((19 \times 588.812,05) - (7417,7 \times 1.508,2))^2}{(19 \times 2.896.230,01) - 55.022.273,29} \times \frac{((19 \times 119.719,48) - 2.274.667,24)^2}{17.559,07}$$

$$r^2 = 0,1649$$

Menentukan Persamaan Regresi Linear

Tujuan utama melakukan menentukan persamaan regresi linear adalah untuk membuat prediksi (ramalan) dengan menggunakan persamaan regresi linear sederhana $Y = a + b X$

$$b = \frac{n\sum XY - \sum X \sum Y}{n\sum X^2 - (\sum X)^2}$$

$$b = \frac{(19 \times 588.812,05) - (7.417,7 \times 1.508,2)}{(19 \times 2.896.230,01) - 55.022.273,29}$$

$$b = \frac{53,81}{6096,90}$$

$$b = 0,088$$

$$a = \frac{(\sum Y)(\sum X^2) - (\sum X)\sum XY}{n(\sum X^2) - (\sum X)^2}$$

$$= \frac{(1.508,2 \times 2.896.230,01) - (7.417,7 \times 5.88.812,05)}{(19 \times 2.896.230,01) - 55.022.273,29}$$

$$a = \frac{462.957,80}{6.096,9}$$

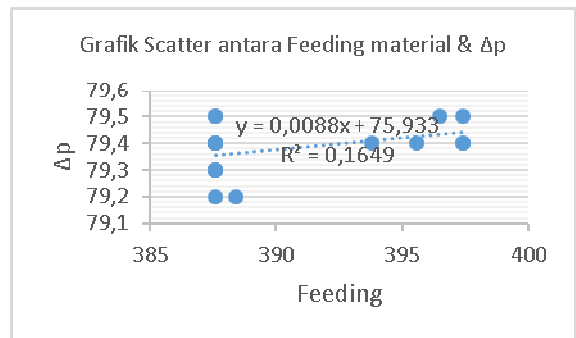
$$a = 75,933$$

Jadi persamaan regresi linear $y=0,0088x+75,933$

Y = variable dependen

a = konstanta

b = koefisien variable X



Gambar 21. Diagram scatter uji hubungan

5. Menguji Hubungan Δp dengan Vibrasi saat Grinding Mode

Tabel 11. Hubungan Δp dengan Vibrasi

u	X	Y	X²	Y²	XY
	Dalam (mm)	Radasi (mm)			
1	385	79,2	148225	6272,4	30492,0
2	386	79,3	148916	6288,9	30660,8
3	387	79,4	149649	6304,4	30828,6
4	388	79,5	150384	6320,0	30996,0
5	389	79,6	151121	6335,6	31164,0
6	390	79,7	151860	6351,3	31332,0
7	391	79,8	152601	6367,0	31500,0
8	392	79,9	153344	6382,8	31668,0
9	393	80,0	154089	6400,0	31836,0
10	394	80,1	154836	6417,2	32004,0
11	395	80,2	155585	6434,4	32172,0
12	396	80,3	156336	6451,6	32340,0
13	397	80,4	157089	6468,8	32508,0
14	398	80,5	157844	6486,0	32676,0
15	399	80,6	158601	6503,2	32844,0
16	400	80,7	159360	6520,5	33012,0
ΣX	6354	1265,8	252134	6521,6	33012,0
ΣY	1265,8	1265,8	252134	6521,6	33012,0

Uji koefisien korelasi atau r

$$r = \frac{n\sum XY - (\sum X)(\sum Y)}{\sqrt{(n\sum X^2 - (\sum X)^2)(n\sum Y^2 - (\sum Y)^2)}}$$

$$= \frac{6,94}{\sqrt{(13 \times 81861,54) - 1.064.198,56} \times \sqrt{(13 \times 1812,71) - 23.538,49}}$$

$$= \frac{6,94}{\sqrt{53,64}}$$

$$r = \frac{6,94}{7,32}$$

$$r = 0,947005$$

Berdasarkan hasil perhitungan nilai $r = 0,947005$ artinya variabel X dan variabel Y mempunyai hubungan korelasi positif atau searah, dimana kenaikan nilai variabel X juga akan diikuti oleh kenaikan variabel Y. Disimpulkan bahwa nilai 0,947005 menunjukkan bahwa korelasi antara feeding material dengan Δp kategori sangat kuat.

Uji koefisien determinasi atau r^2

$$r^2 = \frac{(n \sum XY) - (\sum X)(\sum Y)^2}{(n \sum X^2 - (\sum X)^2)(n \sum Y^2 - (\sum Y)^2)}$$

$$r^2 = \frac{(13 \times 81.861,54) - (1.064 \times 198,56) \times ((13 \times 12.172,62) - 23.528,49)}{(13 \times 81.861,54) - (1.064 \times 198,56) \times ((13 \times 12.172,62) - 23.528,49)}$$

$$r^2 = \frac{48,11}{53,64}$$

$$r^2 = 0,8968$$

Berdasarkan hasil perhitungan uji koefisien determinasi nilai $r^2 = 0,8968$, artinya variabel independen atau X sangat mempengaruhi variabel dependen atau Y sehingga korelasi hubungan signifikan.

Menentukan persamaan regresi linear

$$b = \frac{n \sum XY - \sum X \sum Y}{n \sum X^2 - (\sum X)^2}$$

$$b = \frac{(13 \times 12.172,62) - (1.031,6 \times 153,39)}{(13 \times 81.861,54) - (1.064 \times 198,56)}$$

$$b = \frac{6,936}{1,46}$$

$$b = 4,705$$

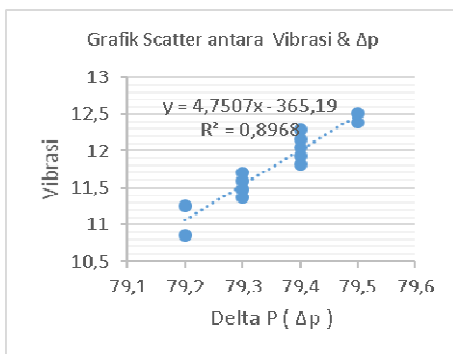
$$a = \frac{(\sum Y)(\sum X^2) - (\sum X)(\sum XY)}{n(\sum X^2) - (\sum X)^2}$$

$$a = \frac{(153,39 \times 81.861,54) - (1.031,6 \times 12.172,62)}{(13 \times 81.861,54) - (1.064 \times 198,56)}$$

$$a = \frac{-533,171}{1,46}$$

$$a = -365,186$$

Berdasarkan hasil perhitungan didapatkan persamaan regresi linear sebagai berikut yaitu $y = 4,7507x - 365,186$
 $Y =$ variable dependen
 $a =$ konstanta
 $b =$ koefisien variable X
 $X =$ variable independen



Gambar 22. Scatter diagram vibrasi & Δp

Berdasarkan grafik scatter diagram menunjukkan korelasi positif, sehingga disimpulkan bahwa semakin besar Δp maka vibrasi *Vertical Raw Mill* semakin besar, sebaliknya ketika Δp kecil maka vibrasi *Vertical Raw Mill* semakin kecil.

Analisa Sebab Dan Akibat Jarak Roller dengan Table <15mm saat Grinding Mode

Berikut hasil uji sebab dan akibat Jarak Roller dengan Table <15mm saat Grinding Mode :

Tabel 12. Kesimpulan analisa sebab dan akibat II

✓ Faktor	Mesin
✓ Sebab	Jarak Roller dengan Table <15mm saat Grinding
✓ Akibat	Roller akan full keep raised tanpa membuat Vertical Raw Mill Trip
✓ Fakta Pendukung	Ketika terjadi material tidak rata di dalam Vertical Mill dan temperature outlet mill >90°C mengakibatkan roller dapat langsung menekan dan menyentuh table tetapi tidak berpotensi vibrasi karena roller full keep raised oleh interlock roller <15mm
✓ Evaluasi	Mengatur jumlah feeding material dan menjaga parameter proses terutama temperature outlet 80-85°C dan Delta P (Δp)
✓ Analisa	Tidak Relevan

Analisa Sebab Dan Akibat Metode Kalibrasi Gap Roller Tidak Sesuai

Berikut hasil uji sebab dan akibat Metode kalibrasi gap roller yang tidak sesuai :

Tabel 13. Kesimpulan analisa Sebab dan Akibat III

✓ Faktor	Metode
✓ Sebab	Metode kalibrasi gap roller yang tidak sesuai
✓ Akibat	Safety roller terhadap table tidak akurat dapat berpotensi terjadi vibrasi ketika jarak roller dengan Table aktual sebenarnya <15mm saat Grinding tetapi di control room terbaca >15mm sehingga menimbulkan vibrasi sedangkan parameter proses sudah sesuai.
✓ Fakta Pendukung	Setiap Inspeksi per 2 bulan dilakukan pengambilan data eror gap roller dan kalibrasi dilakukan apabila tingkat eror >0,5%. Inspeksi dan kalibrasi dilakukan sesuai SOP
✓ Evaluasi	Frekwensi Inspeksi di perpendek dan dilakukan saat Vertical Raw Mill Stop Normal selama minimal 8 jam.
✓ Analisa	Tidak Relevan

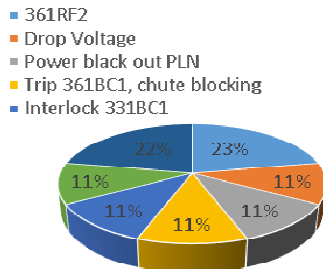
6. Meneliti Hasil Perbaikan

Untuk mengetahui dan mengevaluasi hasil optimasi Vertical Raw Mill, maka dilakukan pengambilan data *downtime* berdasarkan *check sheet* selama bulan Januari 2019 sampai dengan Juni 2019.

Tabel 14. Inventarisasi Masalah Januari -Juni

No	Alarm	Jumlah	Total Durasi
1	HSLM Disturbance	4	7:34:00
2	361RF2 low speed	2	09:46:00
3	Drop Voltage	1	01:17:00
4	Power black out PLN	1	07:35:00

5	Trip 361BC1, chute blocking	1	02:01:00
6	Interlock 331BC1	1	01:05:00
7	361MD1 interlocking output mill 150	1	01:23:00
8	361MD1 Trip Liquid Gagal Start	2	02:18:00

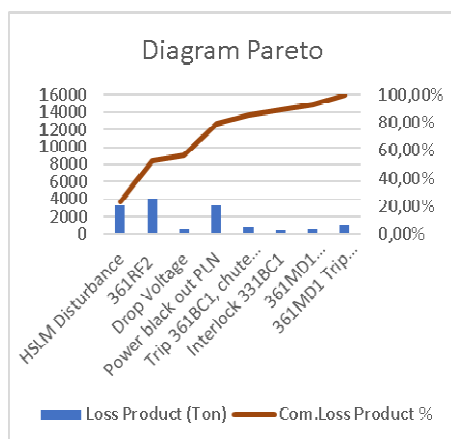


Gambar 23. Diagram Pie

Berdasarkan inventarisasi masalah selama Januari 2019-Juni 2019 terdapat 8 penyebab *downtime* dan selanjutnya menuangkan dalam bentuk *diagram pareto*.

Tabel 15. Analisa pareto Januari -Juni 2019

Alarm	Total Durasi	Loss Product (Ton)	Com. Loss Product (ton)	Loss Product %	Com. Loss Product %
HSLM Disturbance	7:34:00	3178	3178	22,94%	23%
361RF2 low speed	09:46:00	4102	7280	29,61%	53%
Drop Voltage	01:17:00	539	7819	3,89%	56%
Power black out PLN	07:35:00	3185	11004	22,99%	79%
Trip 361BC1, chute blocking	02:01:00	847	11851	6,11%	86%
Interlock 331BC1	01:05:00	455	12306	3,28%	89%
361MD1 interlocking output mill 150°C	01:23:00	581	12887	4,19%	93%
361MD1 Trip Liquid Gagal Start	02:18:00	966	13853	6,97%	100%
Total	32:59:00	13853		100%	



Gambar 24. Diagram Pareto Januari 2019 -Juni 2019

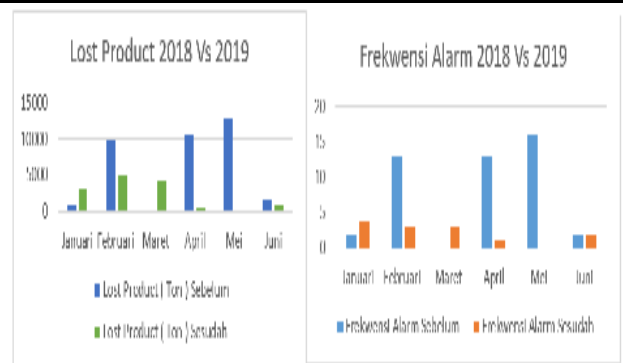
Berdasarkan check sheet masalah dan diagram pareto disimpulkan telah terjadi *lost product Raw Meal* sebesar **13.853 Ton** selama bulan Januari 2019 sampai dengan Juni 2019 dan 77,06 % *lost product* timbul akibat HSLM *disturbance* sebesar 22,94%.

6.1. Perbandingan Sebelum dan Sesudah Perbaikan

Setelah dilakukan perbaikan dan evaluasi selama 6 bulan dari Januari 2019 sampai dengan Juni 2019. berikut ini perbandingan sebelum dan sesudah perbaikan :

Tabel 16. Sebelum dan Sesudah Perbaikan

Bulan	Frekwensi Alarm		Durasi (menit)		Lost Product (Ton)	
	Sebelum	Sesudah	Sebelum	Sesudah	Sebelum	Sesudah
Januari	2	4	137	457	959	3.199
Februari	13	3	1.387	704	9.709	4.928
Maret	Stop Plant	3	Stop Plant	597	Stop Plant	4.179
April	13	1	1.523	83	10.661	581
Mei	16	No alarm	1.842	No Alarm	12.894	No Alarm
Juni	2	2	205	138	1.435	966
Total	46	13	5.094	1.979	35.658	13.853



Gambar 25. Grafik Perbandingan selama bulan Januari – Juni

Berdasarkan perbandingan data *downtime* antara bulan Januari 2018 - Juni 2018 dengan Januari 2019 - Juni 2019 diketahui bahwa terjadi penurunan jumlah frekwensi alarm sebesar 71,73% atau 33 alarm hilang dan penurunan *lost time* serta *lost product* sebesar 61,15% ekuivalen dengan menghilangkan kegagalan produksi sebesar 21.805 ton *raw meal*.

KESIMPULAN

Dari uraian di atas, dapat diambil beberapa kesimpulan berikut ini :

1. Hasil evaluasi sebelum optimasi selama Januari 2018 s/d Juni 2018 dan setelah dilakukan optimasi berdasarkan laporan Januari 2019 s/d Juni 2019 berhasil

- menghilangkan *Lost product* sebesar 21.805 ton *raw meal* atau sebesar 61,15%.
- Hasil laporan secara *year-on-year* selama kuartal 1 dan kuartal 2 tahun 2018 dan 2019 setelah dilakukan optimasi terjadi penurunan jumlah frekwensi *alarm trip* Main Motor Vertical Raw Mill sebesar 71.73% atau 33 alarm hilang sehingga *life time* peralatan produksi lebih lama.
 - Berdasarkan hasil evaluasi terjadi penurunan *downtime* sebesar 61,15% dan frekwensi *alarm trip* Main Motor Vertical Raw Mill sebesar 71.73% sehingga ikut menurunkan potensi kecelakaan kerja karena proses produksi yang terkendali dan berkelanjutan.

SARAN

Proses optimasi interlocking main motor raw mill terhadap proses produksi PT Sinar Tambang Arthalestari dapat dilakukan dengan beberapa cara :

- Ketika *roller* sudah *full raised*, untuk membuat *roller* turun otomatis saat mode auto belum bisa di integrasikan, dikarenakan *feedback differential pressure inlet* dan *outlet Raw Mill* belum di didapatkan data yang sesuai.
- Belum ada data ketika terjadinya kegagalan apabila *roller HSLM* gagal *full raised* selama Januari 2019 - Juni 2019 sehingga proses optimasi masih bisa dilakukan bila proses interlocking mengalami kegagalan.
- Berdasarkan data setelah perbaikan sesuai tabel pareto dan diagram pareto, terjadi *lost product Raw Meal* sebesar 13.853 Ton selama bulan Januari 2019 sampai dengan Juni 2019 dan 77,06 % *lost product* timbul akibat HSLM *disturbance* sebesar 22,94%. Maka untuk meningkatkan hasil optimasi tindakan selanjutnya yaitu menghilangkan atau mengurangi HSLM *disturbance*.

DAFTAR PUSTAKA

- Ahmad Tosepu, Yusrin. *Hukum Pareto Yang Dapat Diterapkan Dalam Seluruh Sendi Kehidupan*. Diambil tanggal 13 Januari 2020 dari https://www.academia.edu/37650146/Hukum_Pareto_yang_dapat_diterapkan_dalam_seluruh_sendi_kehidupan
- Andrico 2016. *Analisa Motor Penggerak Cable Reel Pada Stacker Reclaimer PT. Bukit Asam (Persero) Tbk Tanjung Enim*. Diambil tanggal 5 Juli 2019 dari <http://eprints.polsri.ac.id/3250/3/BAB%202.pdf>
- Coccia, Mario 2017. *The Fishbone Diagram To Identify, Systematize And Analyze The Sources Of General Purpose Technologies*. Diambil 8 Oktober 2019 https://www.researchgate.net/publication/322526380_The_Fishbone_diagram_to_identify_systematize_and_analyze_the_sources_of_general_purpose_technologies
- Ella, Pamella. 2016. Makalah Switchgear. Diambil 5 Juli 2019 dari https://kupdf.net/download/makalah-switchgear_59fbb4fae2b6f5c36dbfa537_pdf#
- Friendly, Michael dan Daniel Denis. 2005. *The Early Origins And Development Of The Scatterplot*. Diambil 6 September 2019 dari https://www.researchgate.net/publication/7923211_The_Early_Origins_and_Development_of_the_Scatterplot
- Loesche LM56.4 RM. 2013. *Interlocking Diagram*. Jakarta: Loesche LM 56.4 RM.
- Loesche LM56.4 RM . 2005. *Scheme Hydraulic*. Jakarta: Loesche LM56.4 RM.
- Loesche LM56.4 RM. 2006. *Hydraulic Control Starting Sequence*. Jakarta: Loesche LM 56.4 RM.
- Lutfi, Muhammad. 2017. *Pintu Pagar Otomatis Dan Dilengkapi Sistem Keamanan (Kontrol Motor)*. Diambil 5 Juli 2019 dari <http://eprints.polsri.ac.id/4613/3/FILE%20III.pdf>
- Madill, Ken. 2003. *AS/NZS 4360:1999 Risk Management*. Diambil 5 September 2019 dari http://www.epsonet.eu/mediapool/72/723588/data/2017/AS_NZS_4360-1999_Risk_management.pdf
- Setyo, Negoro. Materi Kuliah DCS. Diambil 6 Juli 2019 dari <https://www.scribd.com/doc/65620779/Materi-Kuliah-DCS>
- Siddiqui, Habib. 2015. *A Second Look at the Pareto Principle*. Diambil 8 Juli 2019 https://www.researchgate.net/publication/275463379_A_Second_Look_at_the_Pareto_Principle
- Taufik Taufik, Wahyuni Putri. 2016. *Perancangan Prototype Early Warning System pada Kontrol On/Off Belt Conveyor Menggunakan PLC Siemens S7-300*. Diambil tanggal 4 Juli 2019. <http://josi.ft.unand.ac.id/index.php/josi/article/view/22>
- Triwiyatno, Aris. 2011. *Sistem Skala Besar*. Diambil tanggal 6 Juli 2019 dari <http://aristriwiyatno.blog.undip.ac.id/files/2011/10/DCS-Applicationmiring>), penyelenggara, waktu, tempat.(ditulis tegak).